

بررسی تجربی مشعل کم پیچش با پیش مخلوط رقیق برای کاهش آلاینده‌ها

محمد فرشچی^۱، نورالدین توحیدی^۲

دانشکده مهندسی هواپیما، دانشگاه صنعتی شریف

چکیده

برای انجام آزمایشات تجربی، مشعل کم پیچش با مشخصات فنی خاص طراحی و ساخته شده که در آن، با تغییر پارامترهای اصلی شعله از قبیل عدد پیچش هندسی، نسبت تعادل و دبی جرمی مخلوط سوخت و هوا، روی میزان آلاینده‌ها؛ مانند مونوکسید نیتروژن و مونوکسید کربن، و محدوده پایداری شعله از قبیل؛ دمش و پسش بحث و مطالعه شده است. در مشاهدات تجربی با افزایش میزان جریان پیچشی از ۰/۴۸ به ۰/۵۵ در محدوده رقیق از شدت میزان آلاینده‌ها کاسته، ولی در محدوده استوکیومتریک میزان آلاینده‌ها افزایش می‌یابد. همچنین، در محدوده جریان‌های کم-پیچش مشاهده شده که با افزایش عدد پیچش، میزان رقیق‌سازی شعله بیشتر می‌شود. مشعل کم پیچش، شعله‌ای متعلق و پایدار تولید کرده که ابزار مناسب و کم هزینه‌ای برای کاهش آلاینده‌ها و صرف‌جویی اقتصادی مطرح می‌شود.

واژه‌های کلیدی: مشعل کم پیچش- احتراق پیش مخلوط رقیق- کاهش آلاینده‌ها- ناکس NO_x

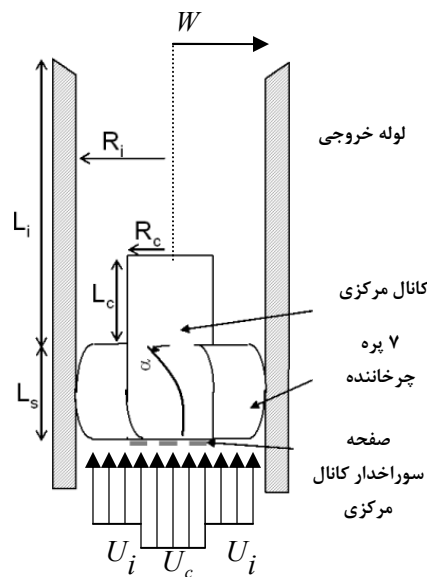
۱- مقدمه

طبق گزارشات آژانس انرژی بین‌المللی در سال ۲۰۰۶، حدود ۸۱ درصد از انرژی روی کره زمین از طریق احتراق سوخت‌های فسیلی بدست می‌آید، به طوری که ۲۱ درصد از گاز طبیعی، ۳۵ درصد از نفت و ۲۵ درصد از زغال سنگ تأمین می‌شوند [۱]. در سالیان اخیر مصرف سوخت‌های فسیلی و در پی آن آلودگی‌های زیست محیطی به صورت قابل توجهی افزایش پیدا کرده است. در این شرایط افزایش کارائی احتراق سیستم‌های مرتبط باعث صرف‌جوئی در مصرف سوخت و همچنین کاهش آلاینده‌ها می‌شود که تحقیقات جدید بر روی این رویکرد متمرکز شده است. آلاینده‌های اصلی حاصل از احتراق هیدروکربن‌های نسوخته، اکسید نیتروژن، مونوکسید کربن، اکسید سولفور، دوده و ذرات ریز یا خاکستر می‌باشند. در کشور ما نیز با توجه به گستردگی تولید انرژی الکتریکی از طریق نیروگاه‌های حرارتی (سوخت فسیلی)، این موضوع بعنوان یک چالش اساسی در صنعت برق مطرح می‌شود. برای کاهش آلاینده‌های ناشی از احتراق از روش‌های مختلفی استفاده می‌شود که از آن جمله می‌توان به روش پاشش آب یا بخار پس از احتراق، اشاره داشت که مشخصاً استفاده از حالت نخست می‌تواند تا حدود ۶۰٪ از میزان NO_x محصولات احتراق بکاهد [۲].

یکی دیگر از روش‌های کاهش NO_x ، استفاده از مشعل‌های کم پیچش می‌باشد، که توسط چنگ و همکارانش ابداع شده است [۳]. ایده این روش آن است که یک موج با سرعت زیاد، شعله پیش مخلوط آشفته را به صورت یک موج ایستا در بیاورد. برای دستیابی به قوانین زیست محیطی تولید آلاینده‌ها، ساختار احتراق کم‌پیچش ساختاری مناسب تر و ایده‌آل تری نسبت به ساختار احتراق پرپیچش در محفظه احتراق‌های توربین گازی است [۴-۶]. شماتیک مشعل کم‌پیچش در شکل ۱ نمایش داده شده است. برای دستیابی به میزان NO_x پایین می‌توان با استفاده از روش احتراق پیش مخلوط رقیق تا حد امکان دمای شعله را

۱- استاد، دانشکده مهندسی هواپیما، دانشگاه صنعتی شریف؛ farshchi@sharif.edu
۲- کارشناس ارشد مهندسی هواپیما، دانشگاه صنعتی شریف؛ nortohidi@alum.sharif.edu

کاهش داد. در احتراق پر پیچش در اثر زیاد نیروهای گریز از مرکز شدیدی ایجاد می‌شود که این نیروها باعث ایجاد گردیانهای فشار قوی می‌شوند، در اثر ایجاد این گردیانهای فشاری قوی پدیده ای در جریان رخ می‌دهد که در پی آن جریان دچار شکست می‌شود. شکست جریان ایجاد ناحیه‌ای برگشتی می‌کند. ناحیه برگشتی باعث پایداری شعله و برخورد تولیدات داغ احتراقی با واکنش دهنده‌های سرد برای تقویت واکنش‌ها می‌شود [۷-۹]. اگرچه، سیستم‌های احتراق پر پیچش به میزان آلاینده‌های پایین دست یافته‌اند، ولی عملکرد آن در محدوده دمش برای ایجاد شعله استاتیک و دینامیک کار بسیار سختی می‌باشد. در حالی که، با تعییه صفحه سوراخدار در مرکز مشعل‌های کم‌پیچش از میزان قدرت پیچش کاسته و یک شعله خیلی پایدار با میزان انتشار آلاینده‌های خیلی پایین همچون NO_x و CO تولید می‌شود [۴-۶]. اساس عملکرد مشعل کم‌پیچش تولید شعله معلق با استفاده از جریان و اگرای ایجاد شده در خروجی آن بوده، به طوریکه، سرعت توربولانس شعله پیش‌مخلوط با سرعت جریان محلی برابر شود. شعله پس‌زده نمی‌شود چون، سرعت توربولانس شعله کمتر از سرعت جریان خروجی از گلوگاه مشعل بوده و شعله دمیده نمی‌شود زیرا، سرعت توربولانس شعله بیش از سرعت جریان پایین دست شعله می‌باشد. میدان جریان و آلاینده‌های حاصل از احتراق پیچشی برای شرایط مختلف ورودی تحت آزمایش قرار گرفته‌اند. در این مطالعات، با طراحی و ساخت یک مشعل کم‌پیچش، تاثیر پارامترهایی مانند عدد پیچش و نسبت اختلاط بر روی عملکرد شعله و انتشار آلاینده‌ها مورد بحث و بررسی قرار گرفته است.



شکل ۱- نمای مشعل پیچشی از نوع پره

۲- معادلات حاکم

در طراحی مشعل‌های پیچشی، پارامترهای زیادی مطرح است. یکی از مهمترین این پارامترها که به نوعی بیان کننده نوع مشعل بوده، عدد پیچش است. عمومی ترین تعریف ممکن از عدد پیچش، S ، یک مقیاس بی‌بعد از شدت پیچش بوده که توسط چیگیر و بیر [۱۰] بیان شده است،

$$S = \frac{G_{ang}}{G_x \cdot R} \quad (1)$$

که در آن، R ، شعاع گلوگاه مشعل، G_{ang} ، شار محوری حاصل از مومنت زاویه و G_x ، شار محوری حاصل از مومنت محوری است. عدد پیچشی را می‌توان براساس انتگرال میدان سرعت نیز بدست آورد [۱۱]. به علت اینکه معمولاً کمیت‌های سرعت به راحتی در دسترس نمی‌باشند این رابطه یک رابطه مهندسی مناسب نیست. بنابراین، برای کاربردهای مهندسی از یک تعریف عدد پیچش براساس پارامترهای هندسی مشعل استفاده می‌شود. به طور کلی، مناسب‌ترین تعریف عدد پیچشی هندسی، S_g ، بوده که براساس اندازه‌گیری جریان‌ها یا شرایط ورودی و هندسه مشعل می‌باشد. در اینجا، پره‌ها موجب ایجاد جریان پیچشی مطابق شکل ۱ می‌شوند.

با فرض یکنواخت بودن جریان محوری، زاویه پره α ، با مؤلفه‌های سرعت U و W در دهانه خروجی مشعل رابطه $U/W = g\alpha$ دارد. شار محوری حاصل از مومنت زاویه‌ای بصورت زیر تعریف می‌شود [۱۱] :

$$G_{ang} = 2\pi\rho \int_{R_c}^{R_i} U_i (U_i \tan \alpha) r^2 dr \\ = 2\pi\rho U_i^2 \tan \alpha \left(\frac{R_i^3 - R_c^3}{3} \right) \quad (2)$$

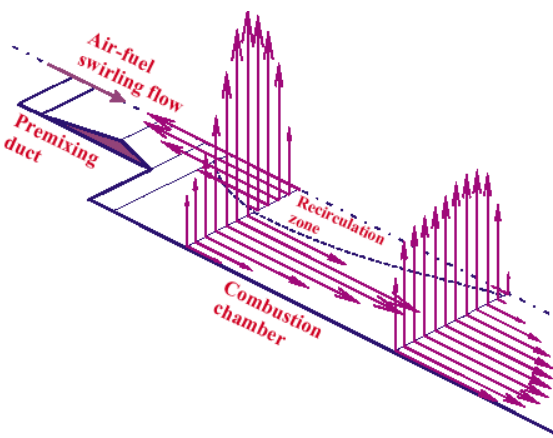
در این رابطه، U_i ، متوسط سرعت محوری حاصل از پیچش توسط پره‌ها است. با فرض توزیع جریان یکنواخت، شار مومنت خطی حاصل از دو قسمت مرکزی و پیچشی به صورت زیر محاسبه می‌شوند:

$$G_x = 2\pi\rho \int_{R_c}^{R_i} U_i^2 r dr + 2\pi\rho \int_0^{R_c} U_c^2 r dr \\ = \pi \left[\rho U_i^2 \left(R_i^2 - R_c^2 \right) + \rho U_c^2 R_c^2 \right] \quad (3)$$

در آن، U_c ، متوسط سرعت محوری که توسط هسته مرکزی ایجاد می‌شود. با استفاده از معادله ۱ تا ۳ می‌توان عدد پیچش هندسی را برای مشعل پیچشی از نوع پره ای به صورت زیر تعریف کرد،

$$S_g = \frac{2}{3} \tan \alpha \frac{1 - R^3}{1 - R^2 + \left[m^2 \left(\frac{1}{R^2} - 1 \right)^2 \right] R^2} \quad (4)$$

که در این رابطه، R ، نسبت شعاع مرکزی به شعاع مشعل $R = R_c/R_i$ است. برای ساده‌سازی بیشتر معادله، با ترم m ، نسبت شار جرمی $m = \dot{m}_c/\dot{m}_i$ بیان شده که \dot{m}_c برای ناحیه مرکزی و \dot{m}_i برای ناحیه حلقوی تعریف می‌شود. نسبت شار جرمی مشابه نسبت سطح مؤثر از هسته مرکزی و پیچشی می‌باشد.



شکل ۲- توزیع مؤلفه‌های سرعت محوری و دورانی در خروجی یک مشعل

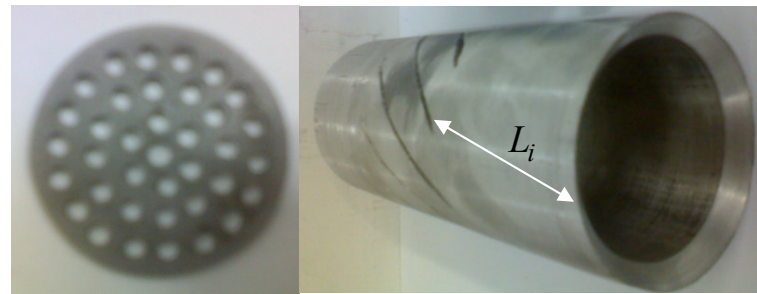
مطالعات صورت گرفته نشان می‌دهد که بالا بودن سرعت دورانی در جریانهای پیچشی، باعث ایجاد نواحی کم فشار در مرکز جریان و در نتیجه کاهش سرعت محوری شده که این موضوع با افزایش شدت پیچش، حتی منجر به باعث بازگشت جریان نیز می‌گردد. این رفتار بصورت شماتیک در شکل ۲ نشان داده شده است. همانگونه که از این شکل ملاحظه می‌شود، با استهلاک شدت پیچش در پائین دست جریان که ناشی از تلفات اصطکاکی و همچنین پخش منتوم دورانی در محیط آزاد می‌باشد، ناحیه برگشتی به تدریج محو می‌گردد.

۳- شاخص‌های تجربی

مجموعه سیستم تجربی از یک مشعل کم پیچش به قطر ۲۲ میلی‌متر و طول ۷۰ میلی‌متر در داخل محفظه سیلندر شکل به قطر ۱۳۰ میلی‌متر و طول ۳۰۰ میلی‌متر در فشار اتمسفریک تعییه شده است. سوخت و هوا به طور پیش مخلوط توسط لوله‌ای استوانه به قطر ۲۲ میلی‌متر و طول ۴۲۰ میلی‌متر به مشعل منتقل می‌شود. برای ایجاد پروفیل‌های سرعت یکنواخت و اختلاط بهتر پیش مخلوط تعدادی توری مناسب در طول لوله قبل از ورود به مشعل قرار داده شده است. هوای مورد نیاز برای احتراق از طریق کمپرسور تامین و به وسیله نازل صوتی اندازه‌گیری می‌شود. در اینجا با اندازه‌گیری فشار استاتیک قبل از نازل صوتی و سطح مقطع می‌توان مقدار هوای مورد نیاز را با استفاده از روابط حاکم محاسبه نمود. گاز پروپان و متان از طریق کپسول پرفشار با تعییه رگلاتور در مسیر جریان، مقدار دبی گاز کنترل می‌شود. میزان سوخت مورد نیاز توسط روتامتر مدل پی.ام.ای.آی^۱ با دقت حدود ۲٪ که توسط شرکت سازنده کالیبره شده اندازه‌گیری می‌شود.

مشعل‌های کم پیچش، پیش مخلوط سوخت و هوا را از دو مجرای مرکزی و پیچشی مطابق شکل ۱ عبور می‌دهد. با عبور واکنش دهنده‌ها از صفحه سوراخدار واقع در کanal مرکزی یک جریان یکنواخت و ایزوتروپ در پایین دست تولید می‌شود که این جریان یکنواخت با جریان پیچشی حاصل از پره‌ها در پایین دست برخورد می‌کند، به طوریکه، حرکت پیچشی حاصل به مرکز جریان نفوذ نمی‌کند. قسمت چرخاننده از ۷ عدد پره صاف تشکیل شده که کanal مرکزی را احاطه می‌کنند. ناحیه چرخاننده باعث ایجاد یک جریان پیچشی می‌شود که جریان مرکزی بدون پیچش را محاصره می‌کند. پره‌های صاف نسبت به محور مرکزی مشعل هم تراز شده و نسبت به آن زاویه ۳۷ درجه دارد، نسبت قطر کanal مرکزی به کanal پیچشی حدود ۶۵٪ در نظر گرفته شده است. در این آزمایش، صفحه سوراخدار از سوراخهای دایروی به قطر ۲.۵ میلی‌متر مطابق سمت چپ شکل ۳ ساخته شده و به صورت دایروی نسبت به مرکز با انسداد ۴۸٪ و ۶۵٪ چیده شده‌اند.

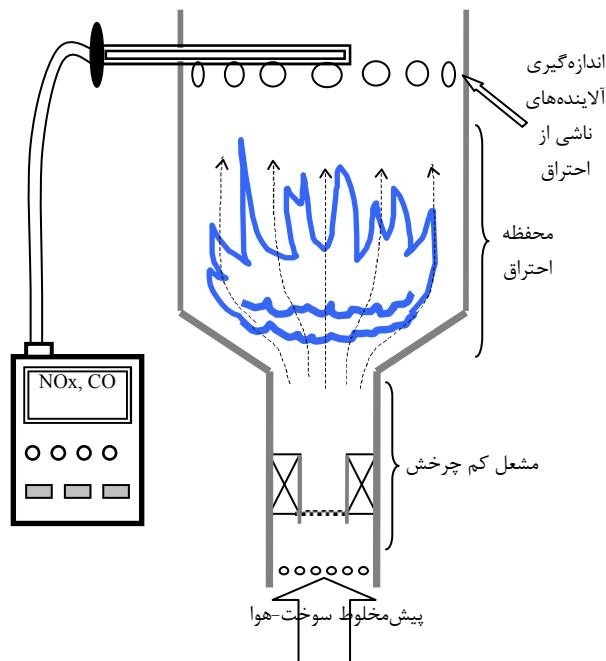
^۱ PM-A-I



شکل ۳- نمای صفحه سوراخدار توربولانس کننده به همراه مشعل

یکی از پارامترهای مهم در طراحی مشعل کم پیچش در شکل ۳ سمت راست، طول ناحیه بعد از پره‌ها $2R_i < L_i < 3R_i$ است. زیرا، این طول روی مدت زمان برخورد مماسی جریان پیچشی با جریان بدون پیچش مؤثر می‌باشد. طول لوله خروجی مشعل در موقعیت تعادلی شعله تأثیر می‌گذارد، به طوری که، افزایش طول لوله آن موجب افزایش ارتفاع شعله خواهد شد. زیرا سرعت جریان محوری زیاد و شدت آشفتگی آن کاهش یافته و این دو عامل در افزایش ارتفاع شعله دخیل می‌باشند.

گازهای سوخته به طور پیوسته از طریق پراپ گاز آنالیزور مدل لنکام تری مطابق شکل ۴ نمونهبرداری می‌شوند. به دلیل داغ بودن تولیدات احتراقی در اطراف شعله و فرصت برای احتراق کامل، با گسترش محفظه در فاصله ۶۰۰ میلی‌متری از دهانه خروجی مشعل نمونه برداری توسط پراپ گاز آنالیزور انجام می‌شود. میزان آلاینده‌های NO_x و CO از طریق الکترود شیمیایی به روش نمونهبرداری خشک با دقت $\pm 0.1\%$ پی‌پی‌ام و مقدار O_2 با دقت $\pm 0.1\%$ توسط گاز آنالیزور محاسبه شده‌اند. پروفیل آلاینده‌های خشک با ضریب تصحیح 0.15% در قسمت نتایج نشان داده شده است.



شکل ۴- شماتیک نحوه اندازه‌گیری آلاینده‌ها

۴- بحث و نتایج تجربی

۴-۱- جدايش شعله از لبه مشعل (شعله معلق)

در شعله‌های پیش مخلوط، جبهه شعله به صورت یک موج به سمت پیش مخلوط سوخت و هوا حرکت می‌کند. سرعت شعله به وسیله نسبت معادل، شرایط ترمودینامیکی و شدت توربولانس کنترل می‌شود. در مقابل شعله‌های پیش مخلوط، شعله‌های دیفیوژن وجود دارند که به صورت آزادانه منتشر نمی‌شوند، زیرا در شعله‌های دیفیوژن عمل سورش در ناحیه اختلاط سوخت و اکسید کننده اتفاق می‌افتد. شیوه احتراق کم پیچش رفتار موجی شعله‌های پیش مخلوط آشفته را بکار گرفته و فقط برای احتراق پیش مخلوط صادق است. این پدیده توسط شعله‌های پیش مخلوط در میدان جریان واگرای حاصل از جریان پیچش ضعیف به وجود می‌آید.

میزان پیچش بیش از حد مورد نیاز سبب پیدایش گردابه‌های برگشتی شده که این موجب جریان معکوس و برگشت قوی می‌شود. انبساط جریان در راستای شعاعی موجب کاهش خطی سرعت متوسط محوری می‌شود. این کاهش سرعت به سمت جریان پایین دست، نقش کلیدی در انتشار آزادانه شعله پیش مخلوط آشفته داشته و شعله را در موقعیتی ساکن کرده که سرعت جریان محلی مساوی و مخالف با سرعت شعله باشد. در این شرایط، شعله به سمت بالادست جریان حرکت نمی‌کند، چون سرعت جریان واکنش دهنده‌ها بیشتر از سرعت شعله است. همچنین شعله دمیده نمی‌شود، زیرا سرعت جریان پایین دست به دلیل وجود جریان واگرا کمتر از سرعت شعله است. لذا یک مکانیزم خود تنظیم برای ایستادگی شعله در برابر ناپایداری‌ها و تغییرات لحظه‌ای وجود دارد. خروج جریان از دهانه انتهایی مشعل سبب ایجاد جریان واگرا خواهد شد. در داخل این جریان پیچشی یک ناحیه بدون پیچش وجود داشته که سرعت آن به سمت پایین دست جریان کم شده و باعث جدايش شعله از لبه مشعل می‌شود. در اینجا، یک شعله با سرعت اولیه جریان خروجی از مشعل برابر 4 متر بر ثانیه و نسبت اختلاط $0/8$ مطابق شکل ۵ نمایش داده شده است.



شکل ۵- نمایی از شعله معلق مربوط به نتایج حاصل از آزمایشات (جدايش شعله از لبه مشعل کم پیچش)

۴-۲- دمای بدن مشعل

در ادامه آزمایشات احتراقی مشخص شد که دمای بدن مشعل برای حالت با جدایش و بدون جدایش شعله از لبه مشعل قابل قیاس می‌باشدند. از آنجا که، برای مدت زمان معین در حین احتراق، دمای بدن مشعل به وسیله ترموموکوبل تیپ کا با دقیق حدود یک درجه سلسیوس اندازه‌گیری شده است. طبق این آزمایش مشاهده شده که دمای بدن مشعل در حالت جدایش کامل شعله از لبه آن حدود ۴۱ درجه سلسیوس بوده، در حالی که، دمای بدن آن در حالت بدون جدایش شعله تقریباً ۳۷۴ درجه سلسیوس می‌باشد (جدول ۱). لذا، از مزیت‌های مشعل کم پیچش، نبود تنفس دمایی خاص روی دیوارهای آن است و می‌توان مشعل مورد نظر را از جنس ارزان قیمت و سیک مثل پلاستیک یا پی.وی.سی تهیه کرد. روش مورد نظر موجب صرفه‌جویی اقتصادی خواهد شد.

جدول ۱- مقایسه‌ای مقدار دمای بدن مشعل در حین احتراق

نوع مشعل (عدد پیچش)	زمان احتراق (ثانیه)	دمای بدن مشعل (بر حسب سلسیوس)
S=۰	۹۰۰	بدون پیچش
S=۰/۵۵	۹۰۰	کم پیچش

۴-۳- محدوده پایداری

نقش محدوده پایداری شعله از قبیل دمش^۱ و پیش^۲ برای مشعل‌های پیچشی قابل توجه بوده که این محدوده برای صفحه‌هایی با نسبت انسدادهای مختلف بدست آورده شده است. این عمل موجب تغییر عدد پیچش هندسی مشعل مورد نظر خواهد شد. همچنین، نسبت اختلاط و دبی کل جریان خروجی از مشعل (سرعت اولیه جریان) روی موقعیت شعله تاثیرگذار می‌باشدند. بنابراین، پارامترهای مانند نسبت اختلاط، دبی کل جریان و عدد پیچش هندسی قابل بحث و بررسی هستند. در بررسی‌های تجربی مشعل در عدد پیچش‌های مختلف به دلیل دشوار بودن تغییر نسبت قطر یا زاویه پره، از تکنیک متفاوتی استفاده می‌شود. در این تکنیک‌ها، از صفحه‌های سوراخدار با انسداد ۴۸٪، ۶۵٪ استفاده می‌شود. لازم به ذکر است که برای محاسبه مقدار عدد پیچش از معادله ۴ استفاده شده است. در آن، نسبت شعاع $R = ۰/۵۶$ ، زاویه پره $\alpha = ۳۷$ ثابت بوده و با تغییر نسبت انسداد یا نسبت جرمی m ، مقدار عدد پیچش هندسی، S_g عوض می‌شود.

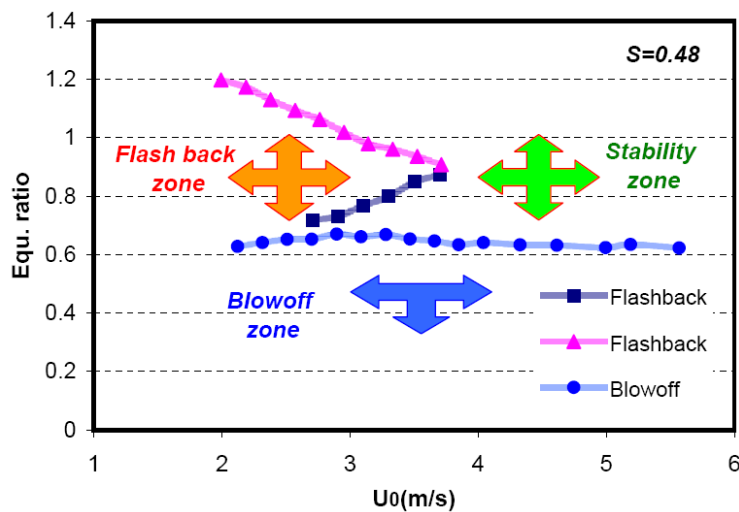
جدول ۲- مقادیر عدد پیچش هندسی برای مشعل‌های مختلف.

نوع مشعل	نسبت انسداد	عدد پیچش هندسی
A	٪۴۸	٪۴۸
B	٪۶۵	٪۵۵

در اینجا، برای انجام آزمایشات از دو نوع مشعل کم پیچش A و B مطابق جدول ۲ استفاده شده است. برای بهدست آوردن محدوده‌های پایداری برای هر نوع مشعل، باید پارامترهای مانند دبی کل جریان و نسبت اختلاط برای عدد پیچش ثابت تغییر داد تا بتوان محدوده پایداری شعله را مشخص کرد.

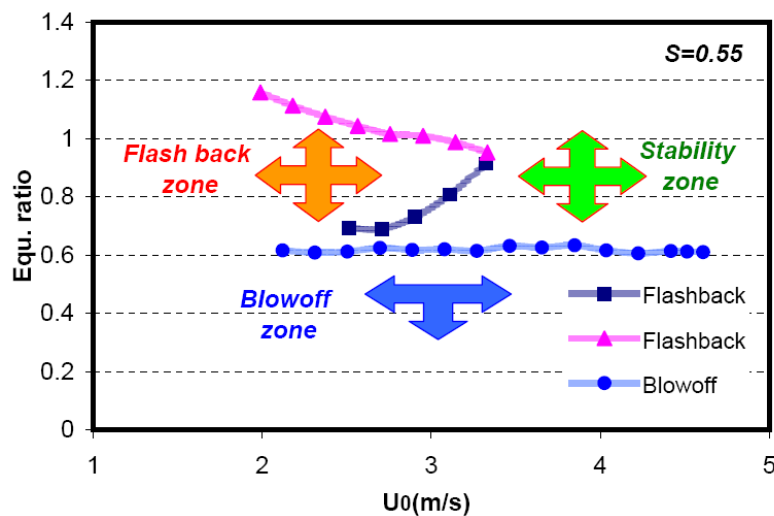
¹ Blowout

² Flashback



شکل ۶- محدوده دمش و پسش برای مشعل A

با توجه به نتایج آزمایشی بدست آمده در شکل ۶ برای مشعل A، مشاهده می‌شود که برای نسبت اختلاط‌های مختلف منحنی پسش شعله با افزایش سرعت جریان خروجی از مشعل تعییر می‌کند، زیرا با افزایش سرعت اولیه جریان خروجی، سرعت آشفتگی شعله نیز افزایش می‌یابد. از طرفی، منحنی دمش شعله با افزایش سرعت جریان خروجی از مشعل تقریباً ثابت مانده و تعییر نمی‌کند. ناحیه ما بین منحنی دمش و پسش بیانگر محدوده پایداری شعله می‌باشد. کمترین سرعت اولیه جریان خروجی مورد نیاز برای پیشگیری از پدیده پسش، $U_0 = 3.74$ متر بر ثانیه، تقریباً متناسب با نسبت استوکیومتریک، $\phi = 0.90$ بدست می‌آید. همچنین، در شکل ۷ برای مشعل B، کمترین سرعت مورد نیاز برای جلوگیری از پدیده پسش، $U_0 = 0.95$ متر بر ثانیه، متناسب با $\phi = 0.95$ رویت شده است. بنابراین، برای سرعت اولیه جریان خروجی، $U_0 > 4$ متر بر ثانیه، نباید نگران اتفاق پدیده پسش در مشعل‌های کم پیچش بود. در این آزمایشات مشاهده شده که به طور تقریبی برای سرعت اولیه جریان خروجی کمتر از $3/3$ متر بر ثانیه در مشعل A و $3/7$ متر بر ثانیه در مشعل B با افزایش نسبت اختلاط در محدوده بالای استوکیومتریک، شعله از لبه مشعل جدا و معلق می‌ماند.



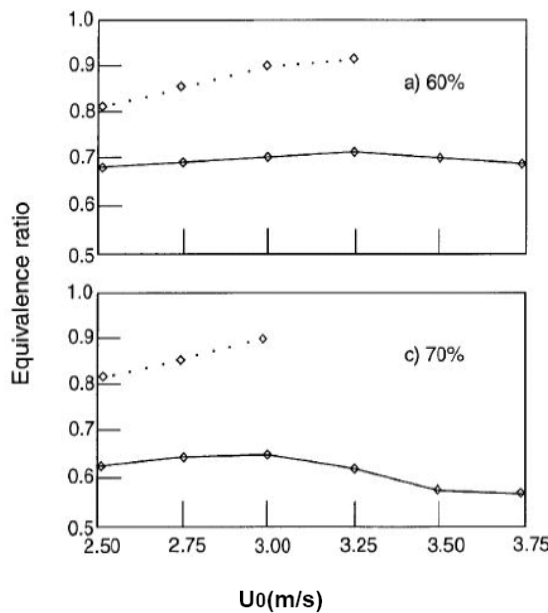
سومین کنفرانس سوخت و احتراق ایران

تهران - دانشگاه صنعتی امیرکبیر - اسفند ماه ۱۳۸۸



دانشگاه صنعتی امیرکبیر
دانشکده مهندسی هواپیما

شکل ۷- محدوده دمش و پسش برای مشعل B



شکل ۸- محدوده دمش و پسش برای صفحه سوراخدارهای مختلف (عدد پیچش متفاوت) [۱۲]

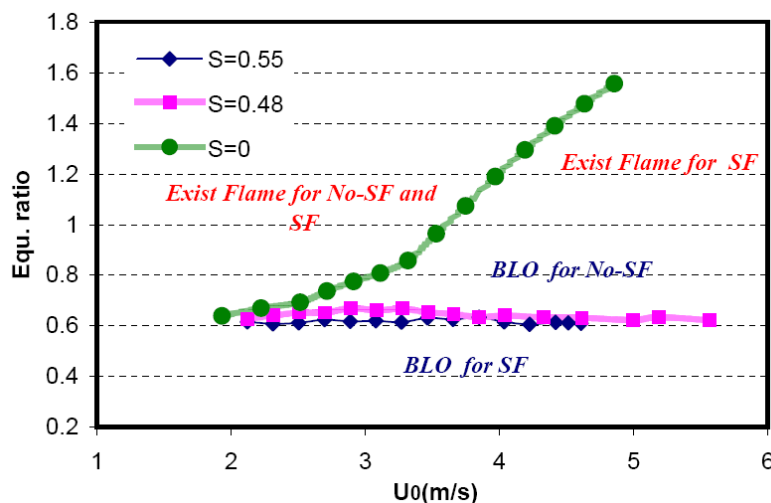
محدوده دمش و پسش بدست آمده از نتایج تجربی در شکل ۶ و ۷ با نتایج آقای چنگ [۱۲]، شکل ۸ همخوانی دارد. با افزایش نسبت انسداد یا عدد پیچش در محدوده جریان‌های کم پیچش، محدوده پایداری شعله افزایش می‌یابد. یعنی، محدوده پایداری شعله برای محدوده خاصی از عدد پیچش، بیشتر می‌شود. برای عدد پیچش بیش از حد، جریان برگشتی در پایین دست مشعل تولید شده و موجب حرکت شعله به سمت مشعل خواهد شد.

با مشاهده تصاویر مربوط به شعله‌های پیچشی در دبی‌های متفاوت می‌توان به طور فیزیکی حدس زد که در کدام محدوده از دبی کل جریان، پدیده پسش اتفاق می‌افتد. مقدار سرعت اولیه جریان خروجی از مشعل با استفاده از دبی کل جریان و سطح مقطع خروجی قابل محاسبه است. بنابراین، مقدار مینیمم سرعت اولیه جریان خروجی از مشعل برای جلوگیری از برگشت شعله به داخل آن بدست می‌آید. از آنجا که، سرعت لامینار شعله، S_L در تعادل استوکیومتریک بیشترین مقدار خود را داشته، لذا در این ناحیه ماکزیمم سرعت آشفتگی شعله، S_T وجود دارد. اگر، سرعت اولیه جریان خروجی از مشعل بیشتر از سرعت آشفتگی شعله باشد، در این صورت شعله در یک فاصله معین از لبه آن ساکن خواهد ماند.

با مشاهده شکل ۹ برای جریان‌های پیچشی،^۱ SF^۱ در مشعل‌های سری A و B منحنی دمش مستقل از سرعت اولیه جریان خروجی بوده، در حالی که، این منحنی در مشعل بدون جریان پیچش، No-SF^۲ تغییر کرده و با افزایش سرعت مقدار نسبت اختلاط افزایش می‌یابد. لذا، محدوده رقیق سازی، یکی از مزیت‌های مهم مشعل‌های کم پیچش در امر احتراق به شمار می‌آید که از این تکنیک برای کاهش دمای شعله و میزان آلاینده‌ها استفاده می‌شود.

¹ Swirl Flow

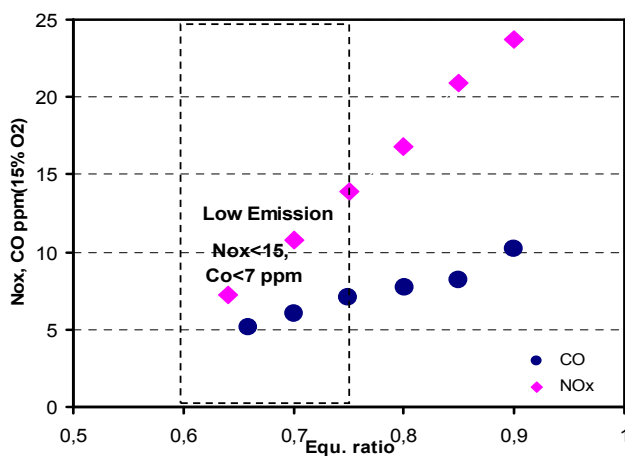
² No-Swirl Flow



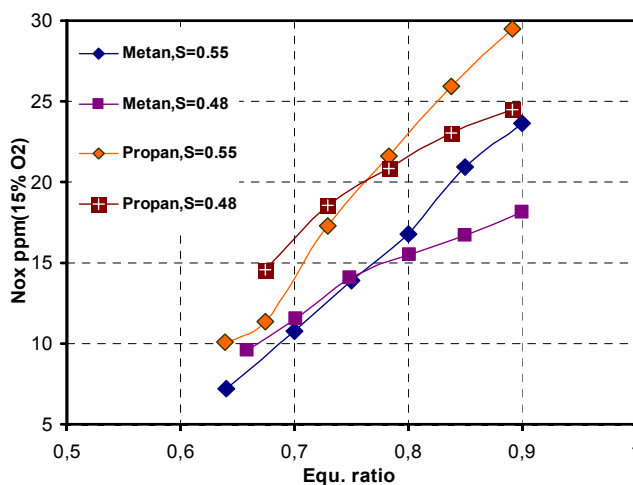
شکل ۹- مقایسه محدوده دمش در مشعل‌های سری A، B و بدون پیچش

۴-۴- کاهش آلینده‌ها

می‌توان با بررسی و مطالعه نتایج حاصل از انواع مشعل‌ها دریافت که تنها مشعل‌های کم پیچش قادر به تولید شعله‌های خیلی رقیق می‌باشند. میزان تولید NO_x قویاً وابسته به دمای شعله می‌باشد و از آنجا که، دمای شعله رقیق نسبت به دیگر شعله‌های پیش مخلوط یا دیفیوژن حاصل از مشعل‌های معمولی کمتر بوده لذا، مشعل کم پیچش یک گزینه مناسب برای کاهش آلینده‌ها به خصوص NO_x به شمار می‌رود. برای اندازه‌گیری آلینده‌ها از سیستمی مشابه بویلرها استفاده شده که در آن، مشعل‌های کم پیچش نصب شده است. با نمونه‌برداری از گازهای خروجی می‌توان میزان آلینده‌های مانند NO_x را به وسیله الکترود شیمیایی اندازه‌گیری کرد. در شکل ۶ میزان NO_x بر حسب نسبت اختلاط برای گاز متان نشان داده شده و تقریباً رابطه خطی بین این دو برقرار است یعنی، با افزایش نسبت اختلاط، میزان NO_x نیز افزایش می‌یابد. همانطور که از نمودار ۶ مشاهده می‌شود، در شرایط خیلی رقیق یعنی، $CO < 7\%$ میزان $NO_x < 12\%$ پی‌پیام با $O_2 < 15\%$ بوده ولی در محدوده استوکیومتریک میزان $NO_x < 25\%$ و $CO < 10\%$ پی‌پیام با $O_2 < 15\%$ است. بنابراین، مشعل کم پیچش شرایط خوبی نسبت به سایر مشعل‌های معمولی داشته و نیاز به هیچ گونه کاتالیزگر و سیستم خنک کاری شعله برای کاهش آلینده‌ها ندارد. لذا، مشعل کم پیچش یک روش کم هزینه و آسان برای کاهش آلینده‌ها تلقی می‌شود. میزان آلینده‌های حاصل از مشعل‌های کم پیچش طبق استاندارد آلینده‌های جهانی می‌باشد و یک روش نوین در علم احتراق برای کاهش NO_x به حساب می‌آید.



شکل ۶- حالت بهینه برای کمترین آلایندگی با سوخت متان ($S=0.55$)



شکل ۷- میزان تغییرات NO_x بر حسب نسبت اختلاط به ازای عدد پیچش مختلف ($S=0.48, S=0.55$) و سوخت متفاوت

در شعله های پر پیچش اگرچه، وجود نواحی برگشتی می تواند با ایجاد اختلاط و تبخیر مناسبتر باعث پایداری شعله و بهبود عملکرد احتراق شود، اما افزایش کنترل نشده شدت پیچش، موجب افزایش جریان های برگشتی (گازهای داغ) می شود که با افزایش جریان های برگشتی دمای ناحیه برگشتی افزایش می یابد. این افزایش دما زمینه را برای تشکیل NO_x فراهم می کند. همانطور که در شکل ۷ مشاهده می شود، برای عدد پیچش 0.48 و 0.55 با افزایش میزان پیچش در محدوده استوکیومتریک به دلیل حضور ناحیه برگشتی داغ، میزان ناکس افزایش یافته ولی در محدوده رقیق به دلیل پایین بودن دمای ناحیه برگشتی از میزان ناکس آن کاسته شده است.

۵- نتیجه گیری

با پیشرفت تکنولوژی و گسترش علم احتراق، همواره محققین به دنبال چاره ای برای کاهش آلایندهها در مشعل های صنعتی، بویلهای و توربین های گازی بوده اند. برای کاهش میزان آلایندهها باید ابزاری را انتخاب کرد تا محدوده اشتعال پذیری

احتراق را افزایش داد، یعنی بتوان در نسبت اختلاطهای رقیق شعله پایداری ایجاد کرد. از آنجا که، احتراق کم پیچش یک تکنیک نوین برای افزایش پایداری شعله معرفی شده به طوریکه، شعله از مشعل جدا و در یک فاصله معین ساکن خواهد ماند. زیرا با خروج جریان پیچشی از دهانه خروجی مشعل، به دلیل وجود نیروی گریز از مرکز و گرادیان فشار محوری، جریان واگرا ایجاد شده و در راستای محوری سرعت جریان تقلیل می‌یابد. لذا شعله پس‌زده نمی‌شود، زیرا سرعت جریان خروجی بیشتر از سرعت آشفتگی شعله است و همچنین، شعله دمیده نمی‌شود، چون سرعت جریان پایین دست آن کمتر از سرعت شعله می‌باشد. با انجام آزمایشات روی مشعل کم پیچش موارد زیر مشاهده شده است:

در محدوده جریان کم پیچش شعله از مشعل جدا بوده و هیچ گونه تنفس دمایی به دیواره آن وارد نمی‌کند. لذا، می‌توان مشعل مورد نظر را از جنس سبک و ارزان قیمت ساخت. با افزایش عدد پیچش در محدوده $S < 0.55 / 40$ موجب اختلاط بهتر پیش مخلوط سوخت و هوا شده و می‌توان آن را بیش از حد رقیق سوزاند که باعث کاهش میزان ناکس در محدوده رقیق می‌شود زیرا، دمای شعله در این ناحیه کاهش می‌یابد. همچنین، میزان ناکس حاصل از احتراق برای عدد پیچش $0.55 / 40$ در شرایط رقیق کمتر از عدد پیچش $0.48 / 40$ بوده ولی در شرایط استوکیومتریک برعکس آن صادق است.

مراجع

- 1- Williams, A., "Experimental investigation of premixed combustion within highly porous media", Proceeding of the ASME/JSME Thermal Engineering Joint Conference, pp. 752-758, 1992.
- 2- International Energy Agency, *Key World Energy Statistics*. Paris, France, 2006.
- 3- Bowman, C. T., "Control of Combustion-Generated Nitrogen Oxide Emissions: technology Driven By regulations," *24th Symposium on Combustion*, Combustion Institute, Pittsburgh, pp. 859-878, 1992.
- 4- D. Littlejohn, A. J. Majeski, S. Tonse, C. Castaldini and R. K. Cheng, "Laboratory investigation of an ultra low NOx premixed combustion concept for industrial boilers", *Proceedings of the Combustion Institute*, vol. 29, pp 1115–1121, 2002.
- 5- D. Littlejohn and R.K. Cheng, "Fuel effects on a low-swirl injector for lean premixed gas turbines", *Proceedings of the Combustion Institute*, Volume 31, Issue 2, January 2007, Pages 3155-3162.
- 6- M. R. Johnsona, D. Littlejohna, W. A. Nazeerb, K. O. Smithb, R. K. Cheng "A comparison of the flowfields and emissions of high-swirl injectors and low-swirl injectors for lean premixed gas turbines", *Proceedings of the Combustion Institute*, vol. 30, pp 2867-2874, 2005.
- 7- Nazeer, W.A., Smith, K.O., Sheppard, P., Cheng, R.K., and Littlejohn, D., "Full Scale Testing of a Low Swirl Fuel Injector Concept for Ultra-Low NOx Gas Turbine Combustion Systems, *ASME Paper GT2006-90150*.
- 8- Schefer, R.W., Wicksall, D.W., and Agrawal, A.K., "Combustion of Hydrogen-Enriched Methane in a Lean Premixed Swirl-Stabilized Burner," *Proc. of the Comb. Inst.*, 29, pp. 843-851, 2002.
- 9- Wicksall, D.M., Agrawal, A.K., Schefer, R.W., and Keller, J.O., "Influence of Hydrogen Addition on Flow Structure in Enclosed Swirling Methane Flame," *Journal of Propulsion and Power*, 21, pp 16-24., 2005.
- 10- Wicksall, D.W., Agrawal, A.K., Schefer, R.W., and Keller, J.O., "The Interaction of Flame and Flow Field in a Lean Premixed Swirl-Stabilized Combustor Operated on H₂/CH₄/Air, *Proc. of the Comb. Inst.*, 30, pp. 2875-2883, 2005.
- 11- N. A. chigier and J. M. beer, "Velocity and static pressure distributions in swirling air jets issuing from annular and divergent nozzles," *Trans. ASME 86D, J. Basic Eng.*, vol. 4, pp 788-796, 1964.
- 12- R. K. Cheng, S.A. Fable, D. Schmidt, L. Arellano and K.O. Smith, "Development of a low swirl injector concept for gas turbines", *University of California*, Paper LBNL-47801, 2000.
- 13- R. K. Cheng, T. Yegian, "Mechanical Swirler for A Low-NOx, Weak-Swirl Burner," United States Patent,



انجمن احتراق ایران

FCCI2010-1140

سومین کنفرانس سوخت و احتراق ایران

تهران - دانشگاه صنعتی امیرکبیر - اسفند ماه ۱۳۸۸



دانشگاه صنعتی امیرکبیر

دانشکده مهندسی هواپیما

US005879148A, Mar. 9, 1999